



IAEA 2023
2023.9.19~22, IAEA Headquarters, Vienna, Austria.



Plant Pathogens Control Using Air Atmospheric Pressure Plasmas

Toshiro Kaneko, Shota Sasaki, Keisuke Takashima,
Graduate School of Engineering, Tohoku University, Japan

Ministry of Agriculture, Forestry and Fisheries of Japan

令和3年5月
農林水産省

現状と今後の課題

- 生産者の減少・高齢化、地域
- SDGsや環境への対応強化
- 国際ルールメイキングへの参画

Low risk pesticides

「Farm to Fork戦略」(20.5)
2030年までに化学農薬の使用及びリスクを50%減、有機農業を25%に拡大

「農業イノベーションアジェンダ」(20.2)
2050年までに農業生産量40%増加と環境フットプリント半減

農林水産業や地域の将来も見据えた持続可能な食料システムの構築が急務

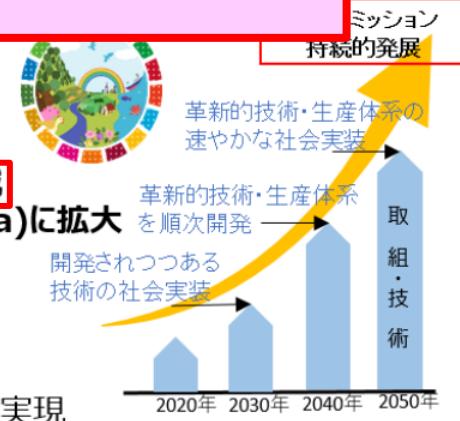
持続可能な食料システムの構築に向け、「みどりの食料システム戦略」を策定し、中長期的な観点から、調達、生産、加工・流通、消費の各段階の取組とカーボンニュートラル等の

2050年までに目指す姿

- 農林水産業のCO2ゼロエミッション化の実現に向け、低リスク農薬への転換、総合的な病害虫管理システムの確立・普及に加え、ネオニコチノイド系を含む従来の殺虫剤に代わる新規農薬等の開発により、**化学農薬の使用量(リスク換算)を50%低減**
- 輸入原料や化石燃料を原料とした化学肥料の使用量を30%低減**
- 耕地面積に占める有機農業の取組面積の割合を25%(100万ha)に拡大
- 2030年までに食品製造業の労働生産性を向上
- 2030年までに食品企業における

30% reduction in chemical fertilizer use

50% reduction in chemical pesticide use



2040年までに革新的な技術・生産体系を順次開発(技術開発目標)

2050年までに革新的な技術・生産体系の開発を踏まえ、

今後、「政策手法のグリーン化」を推進し、その社会実装を実現(社会実装目標)

※政策手法のグリーン化: 2030年までに施策の支援対象を持続可能な食料・農林水産業を行う者に集中。

2040年までに技術開発の状況を踏まえつつ、補助事業についてカーボンニュートラルに対応することを目指す。

補助金拡充、環境負荷軽減メニューの充実とセットでクロスコンプライアンス要件を充実。

※革新的技術・生産体系の社会実装や、持続可能な取組を後押しする観点から、その時点において必要な規制を見直し。地産地消型エネルギーシステムの構築に向けて必要な規制を見直し。

期待される効果

経済 持続的な産業基盤の構築

- ・輸入から国内生産への転換(肥料・飼料・原料調達)
- ・国産品の評価向上による輸出拡大
- ・新技術を活かした多様な働き方、生産者のすそ野の拡大

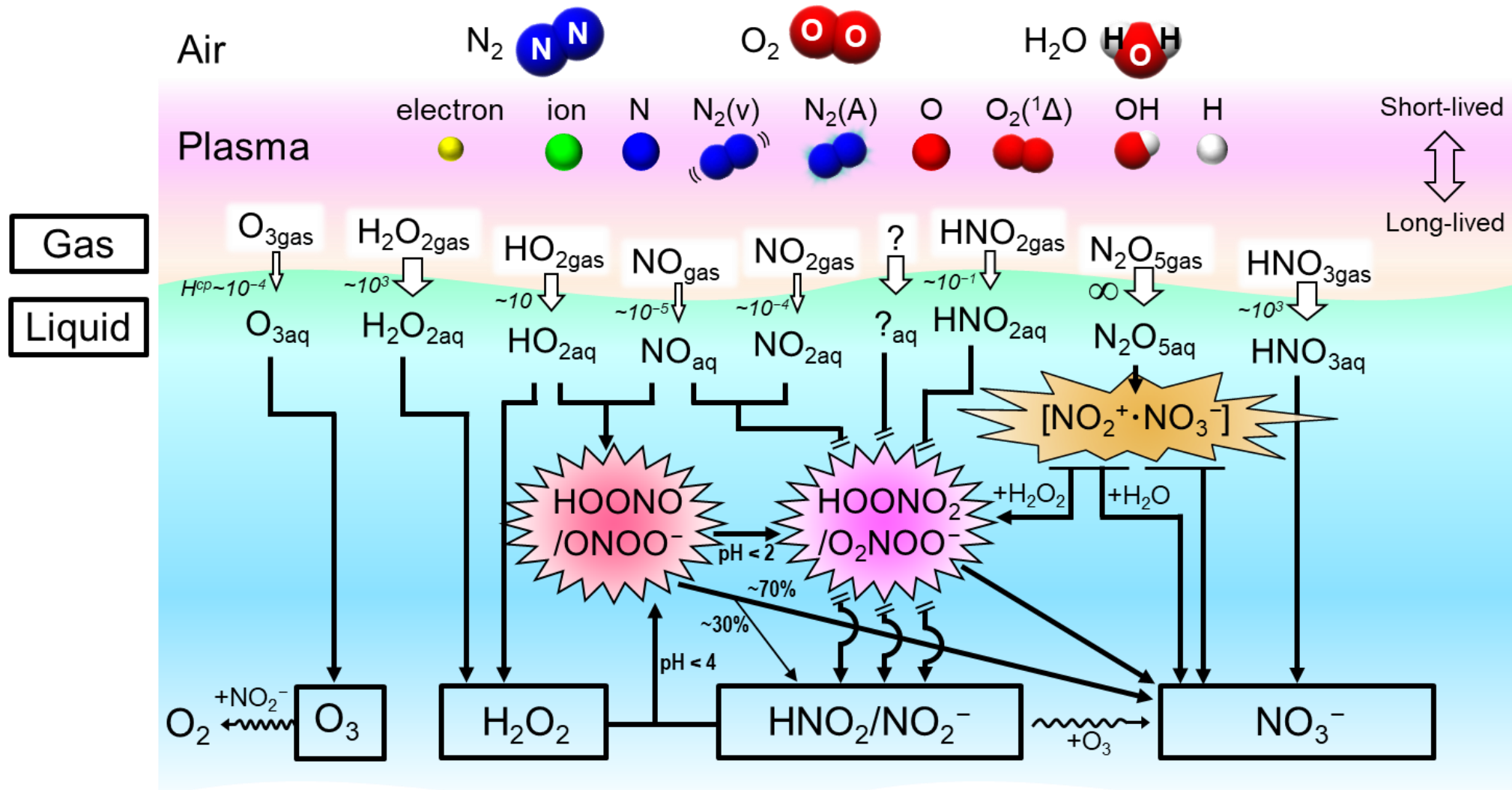
社会 国民の豊かな食生活
地域の雇用・所得増大

- ・生産者・消費者が連携した健康的な日本型食生活
- ・地域資源を活かした地域経済循環
- ・多様な人々が共生する地域社会

環境 将来にわたり安心して暮らせる地球環境の継承

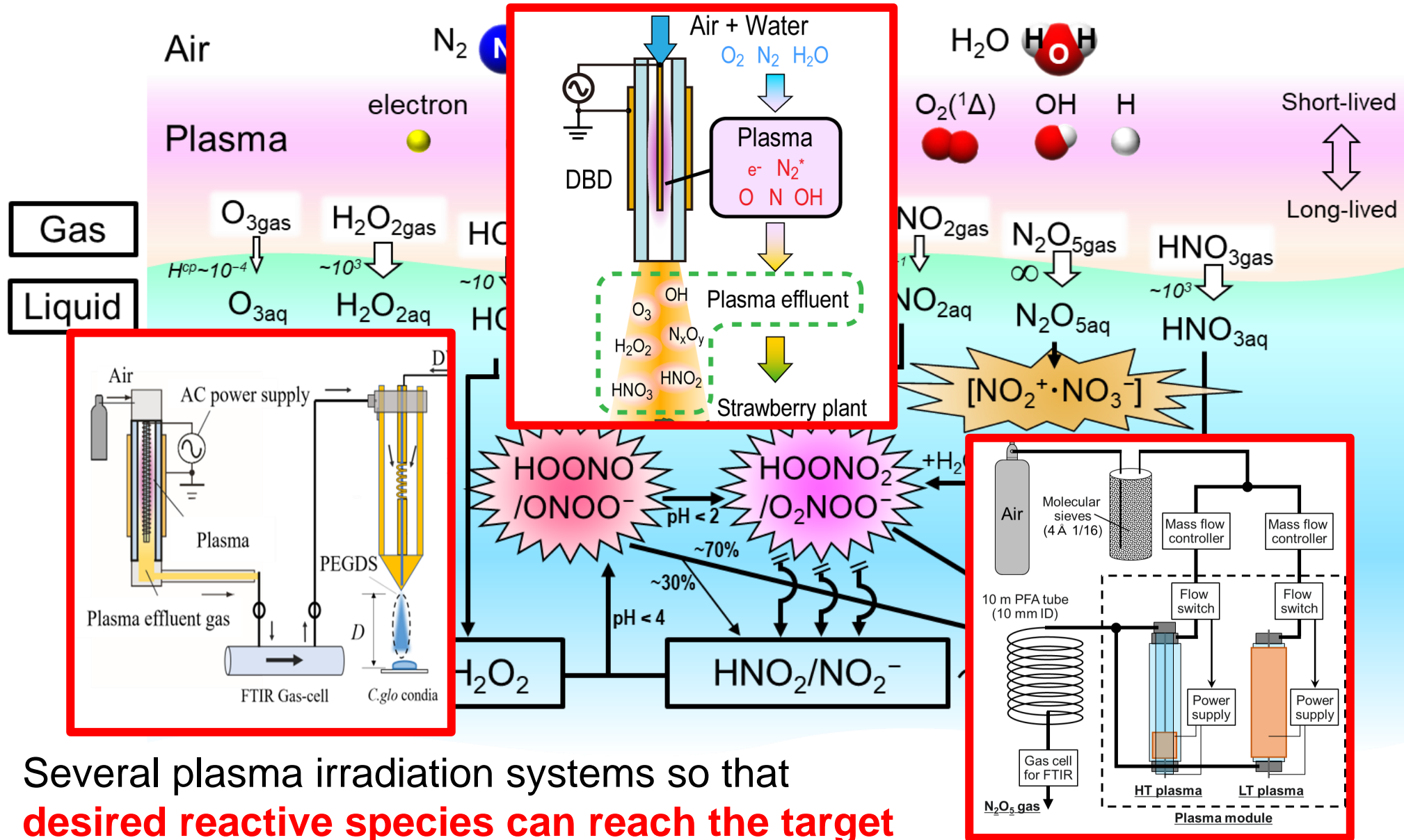
- ・環境と調和した食料・農林水産業
- ・化石燃料からの切替によるカーボンニュートラルへの貢献
- ・化学農薬・化学肥料の抑制によるコスト低減

Air Atmospheric Pressure Plasma (Air APP)



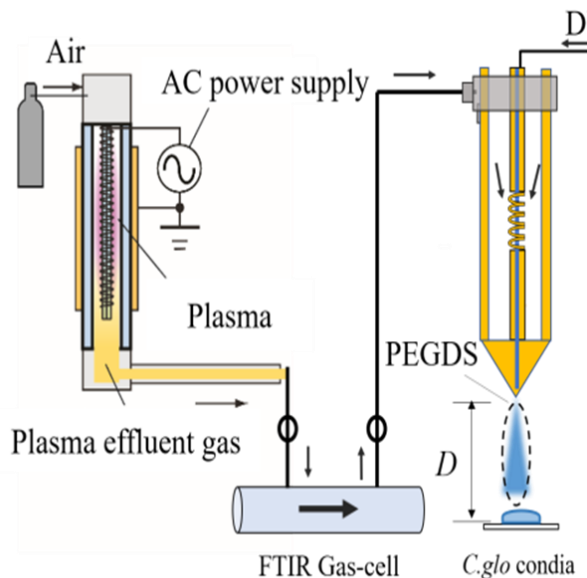
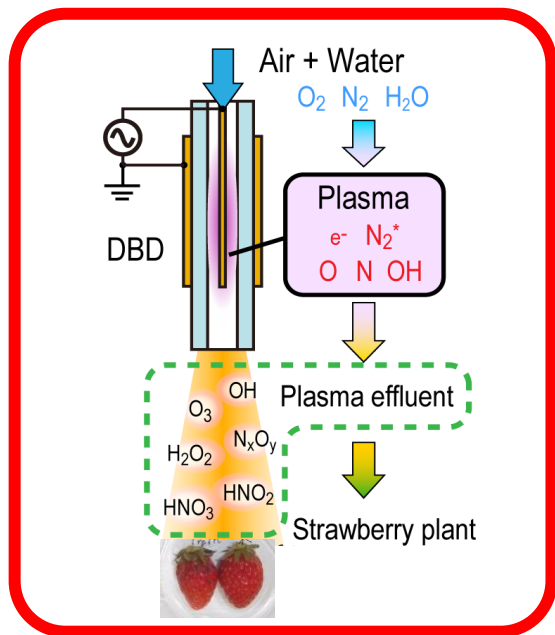
Several plasma irradiation systems so that **desired reactive species can reach the target**

Air Atmospheric Pressure Plasma (Air APP)

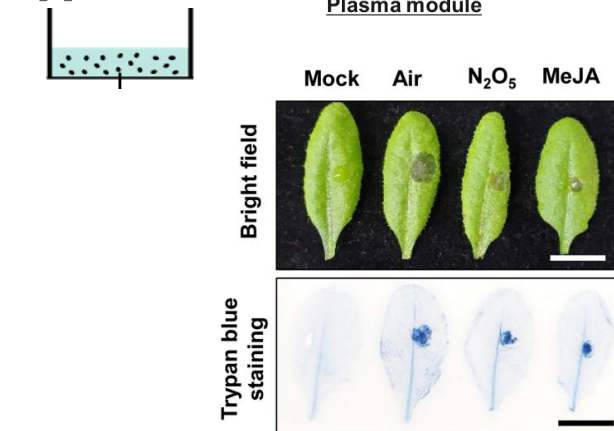
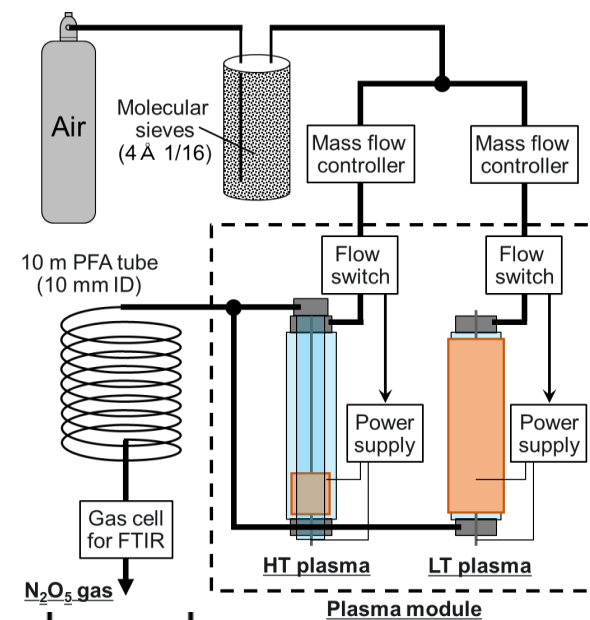


Several plasma irradiation systems so that **desired reactive species can reach the target**

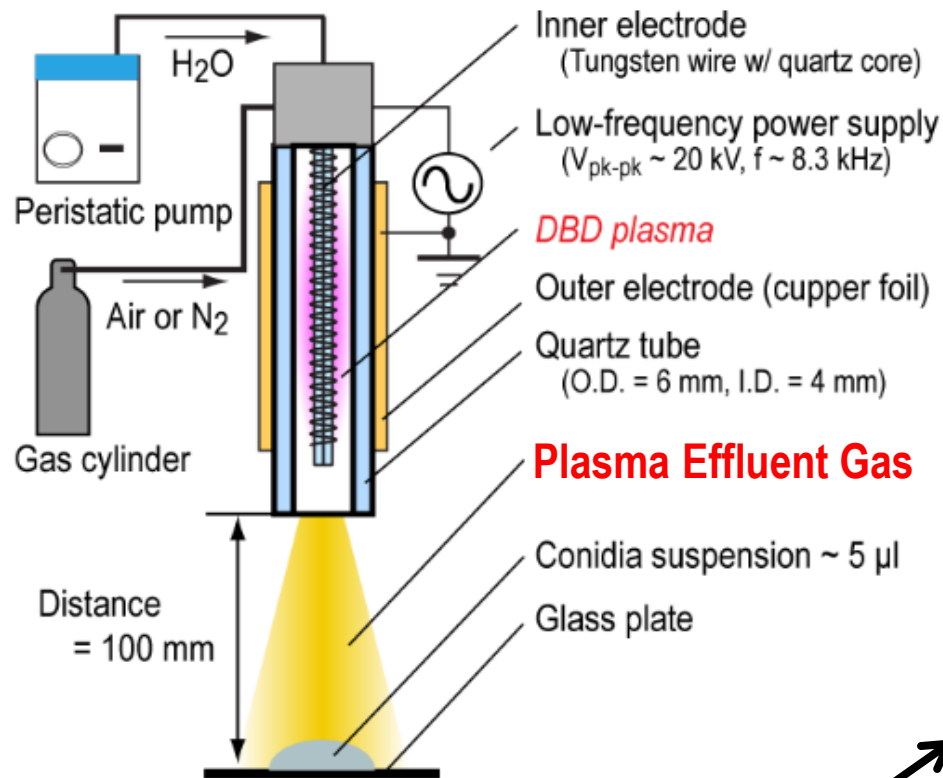
[sterilization/virus inactivation] (during cultivation)



[plant immunity activation] (nitrogen fertilization)



Air Atmospheric Pressure Plasma (APP)



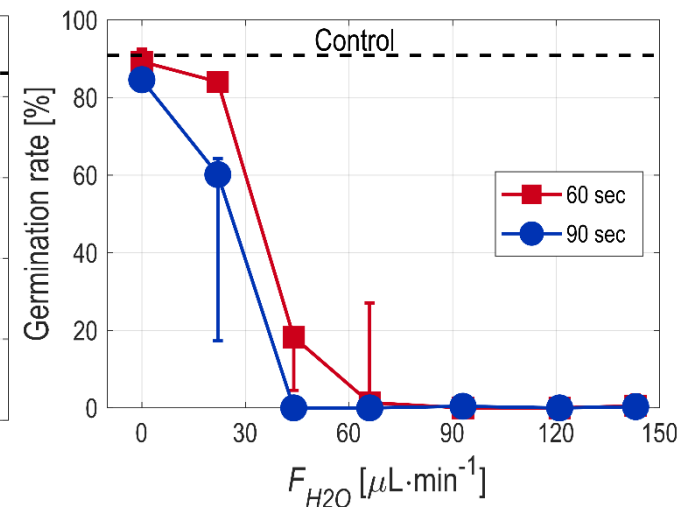
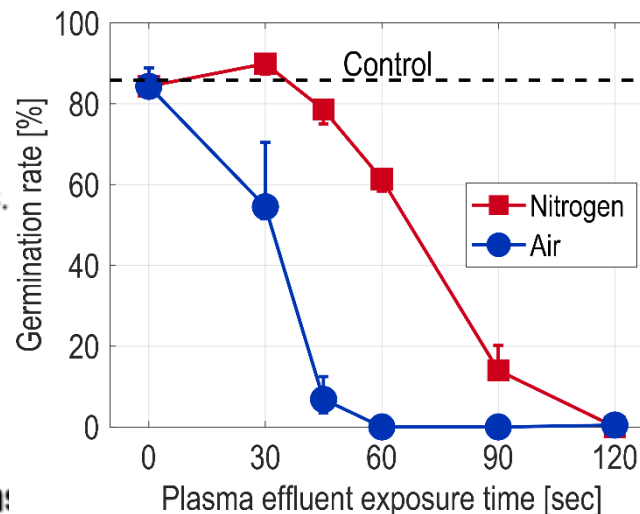
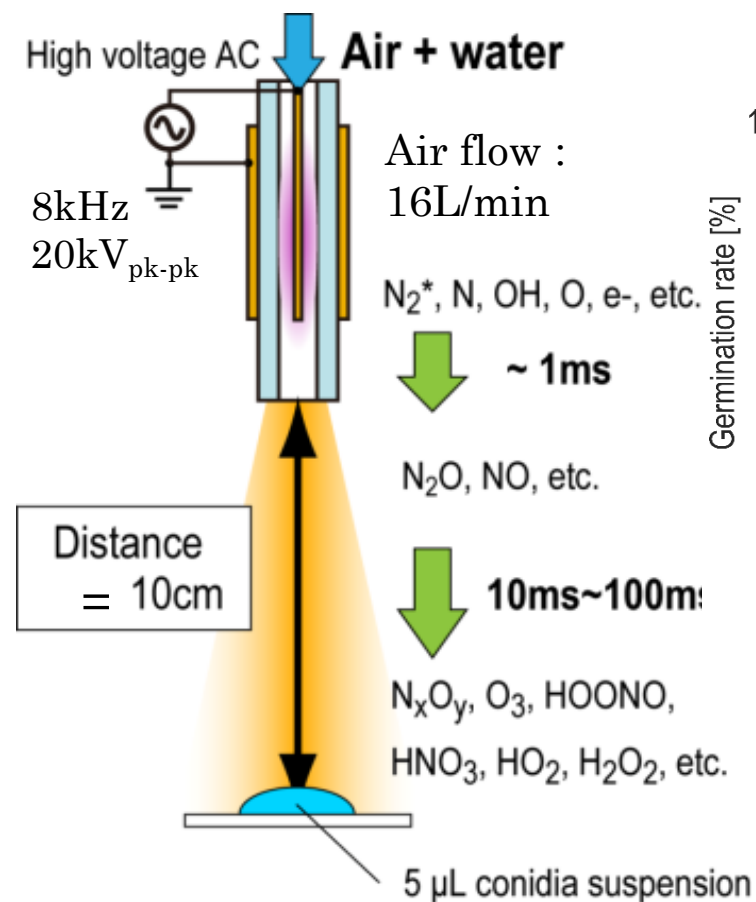
Strawberry pathogen:
Colletotrichum gloeosporioides (*C. glo.*)



$$\text{Germination rate} = \frac{\text{Germinated conidia}}{\text{Total conidia}}$$

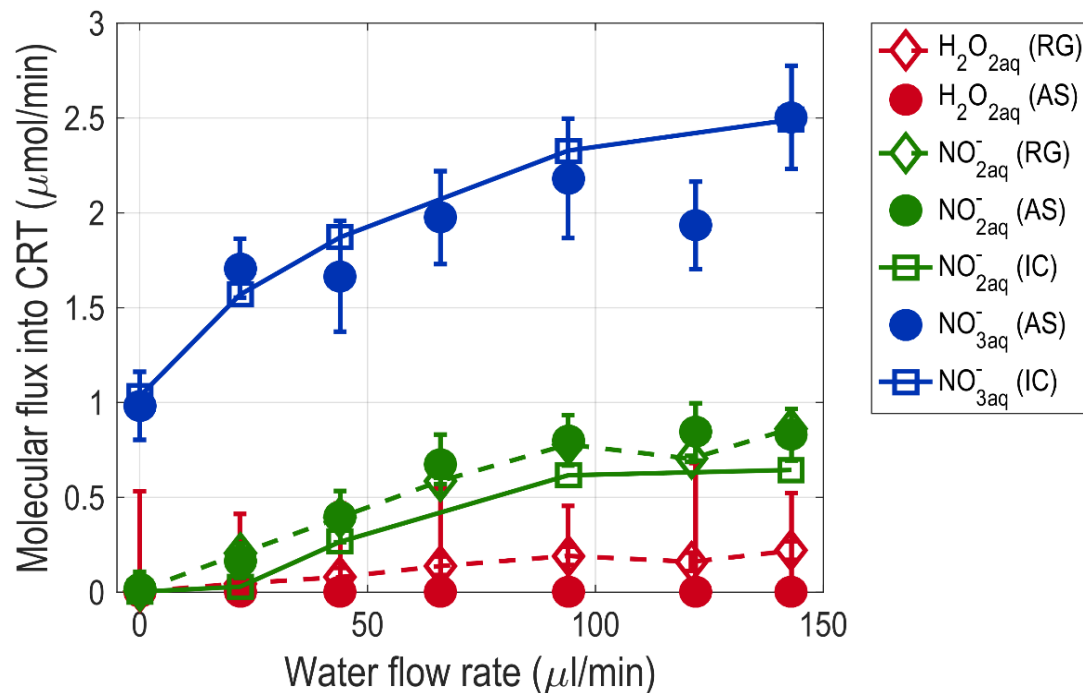
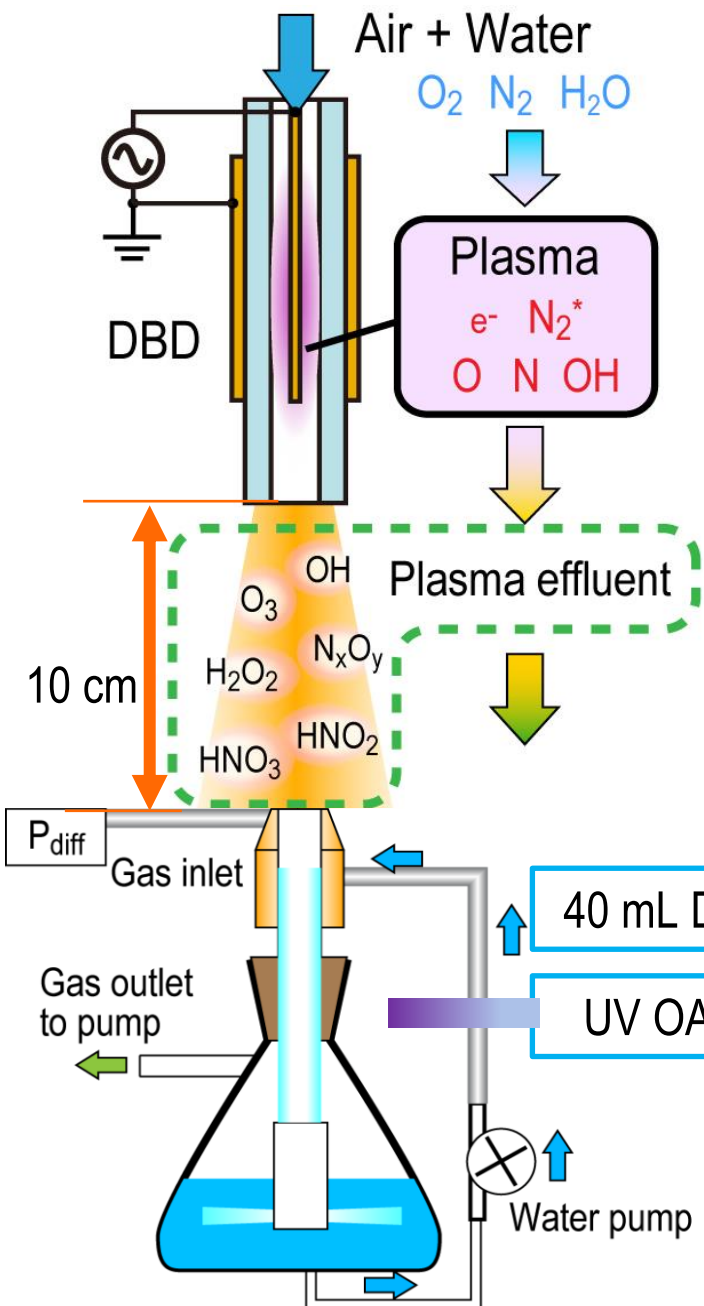
Experimental Condition

Gas	Air
Voltage (V_{p-p})	20 kV
Frequency (f)	8.3 kHz
Irradiation Time (T)	0 ~ 120 sec
Irradiation Length (L)	100 mm
Air flow rate (F_{air})	4 ~ 16 L/min
Water flow rate ($F_{\text{H}_2\text{O}}$)	0 ~ 150 $\mu\text{l}/\text{min}$

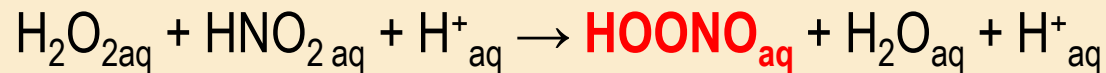


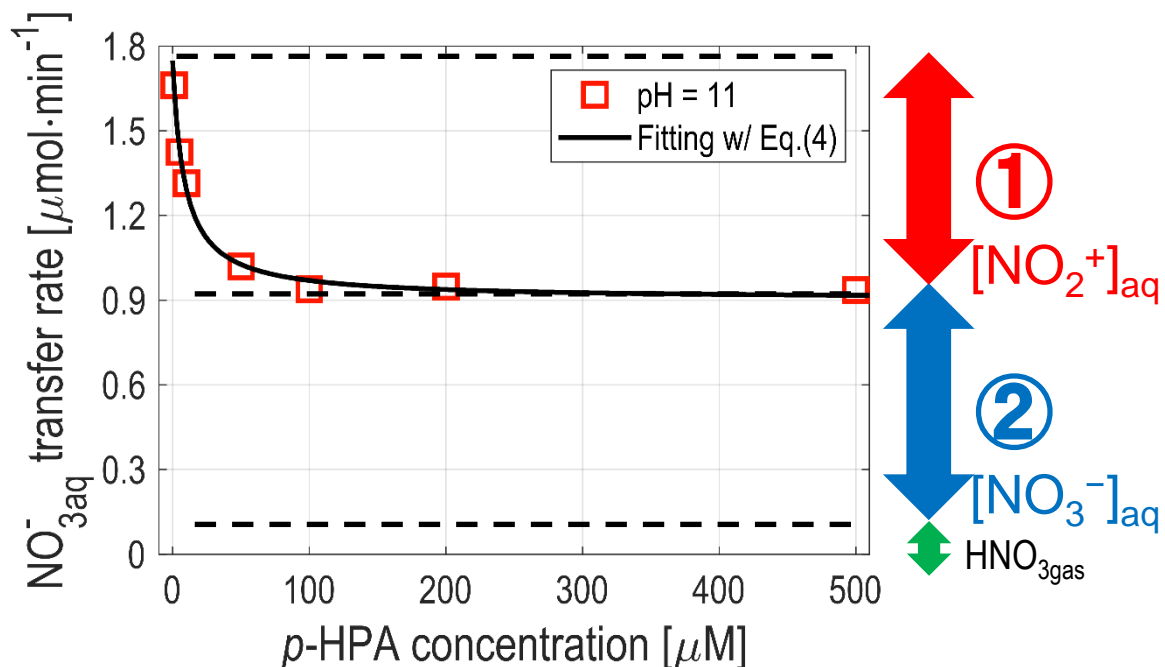
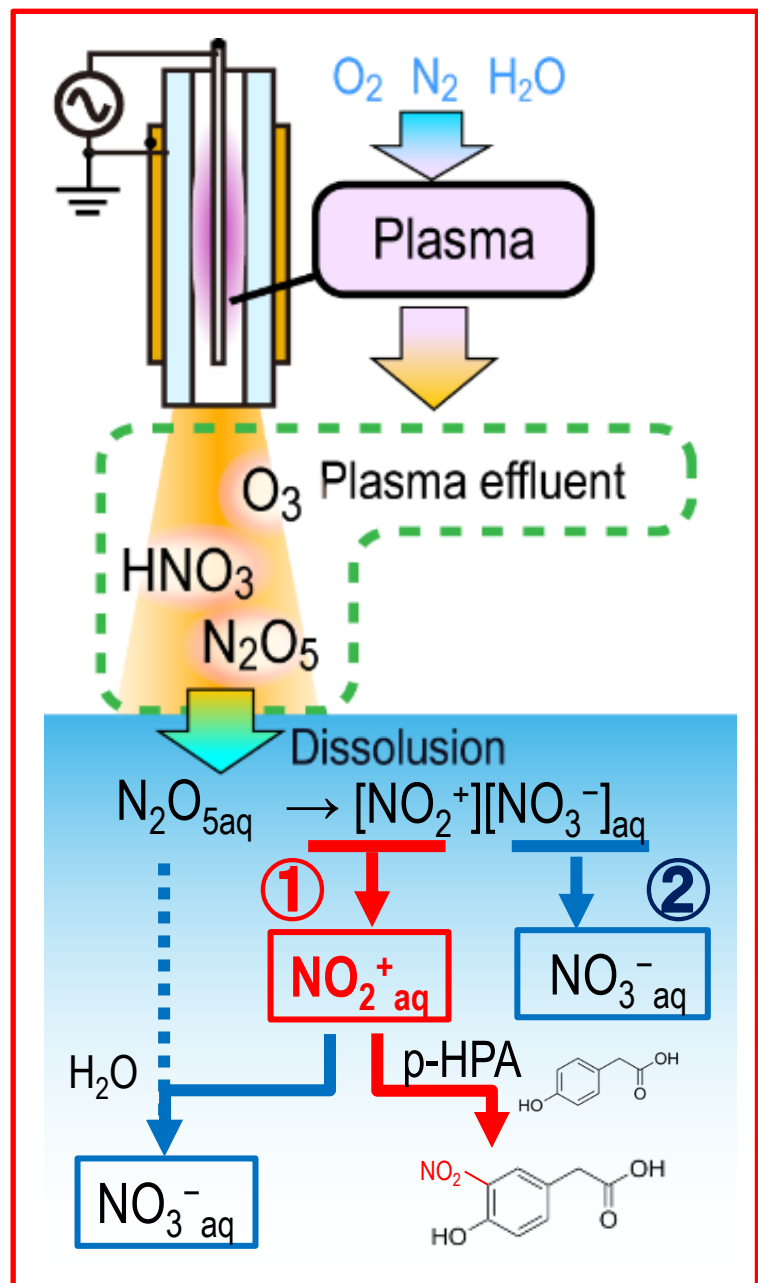
- Conidia suspension
 - 5uL conidia suspension with density of 2×10^6 conidia/ml in DW
 - 6~12 hours cultivation under 28 °C

- Germination rate gradually decreases with an increase in the plasma irradiation time
- Germination rate drastically decreases with an increase in the water flow rate



○ H₂O in **plasma** acts as a hydrogen source and enhances dissolution of reactive species in **liquid** phase, related with pathogen germination suppression.





- p-HPA is $\text{NO}_2^+_{\text{aq}}$ scavenger.
- Nearly 50% of $\text{NO}_3^-_{\text{aq}}$ generation is reduced by p-HPA

NO_2^+ : Nitronium Ion

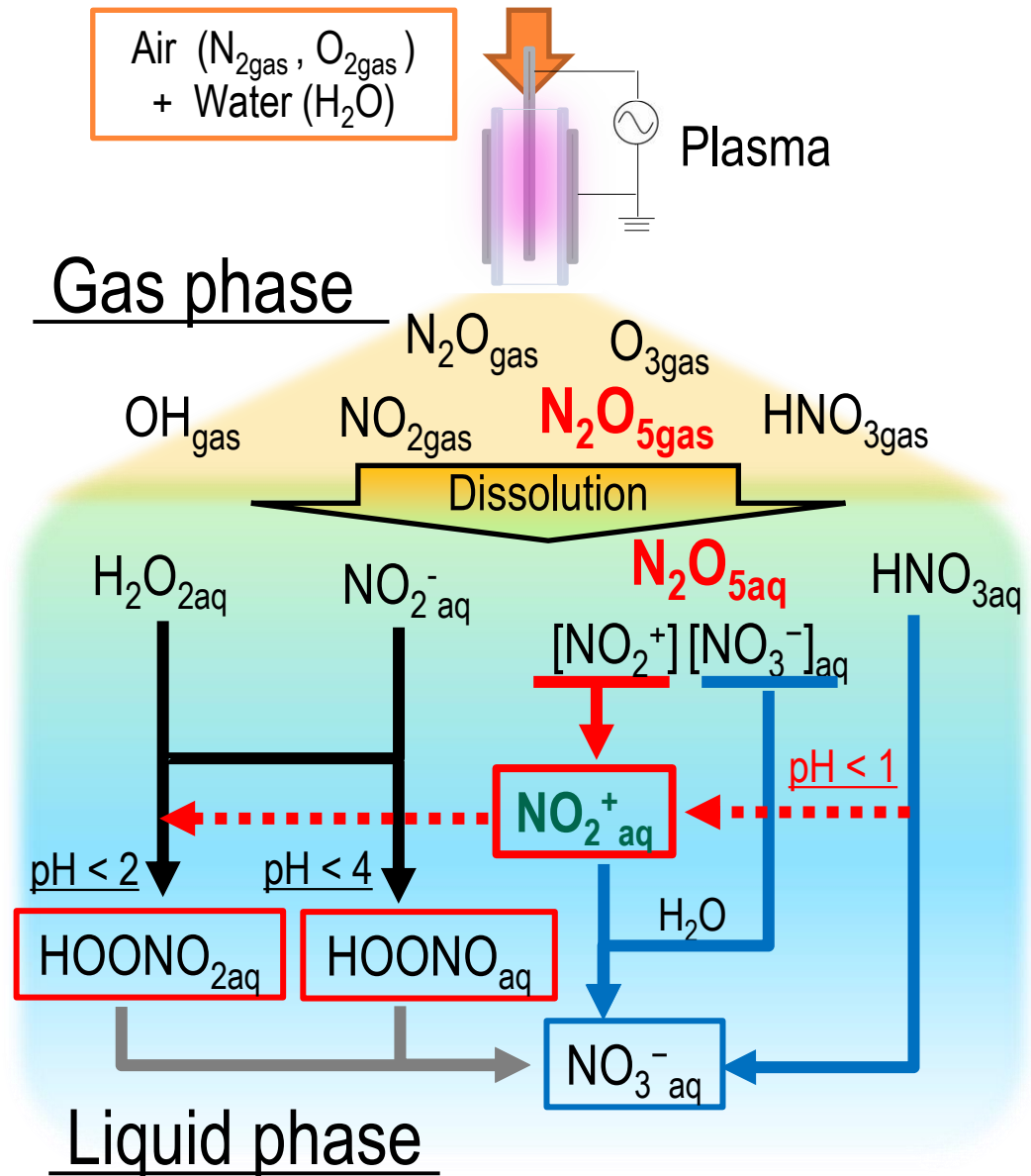
N_2O_5 : Dinitrogen Pentoxide

Gas Phase

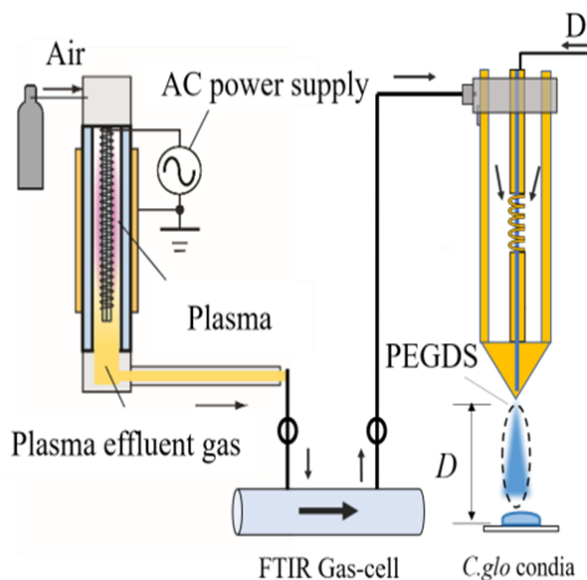
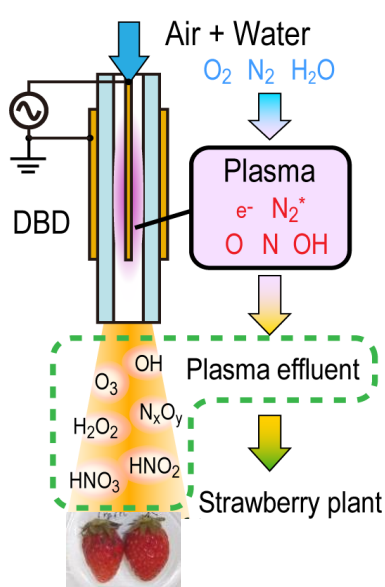
- N_2O_{5gas} , O_{3gas} , NO_{2gas} , etc...

Liquid Phase

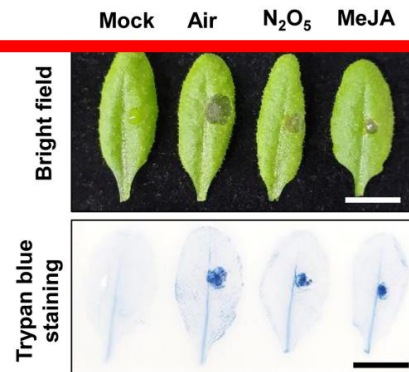
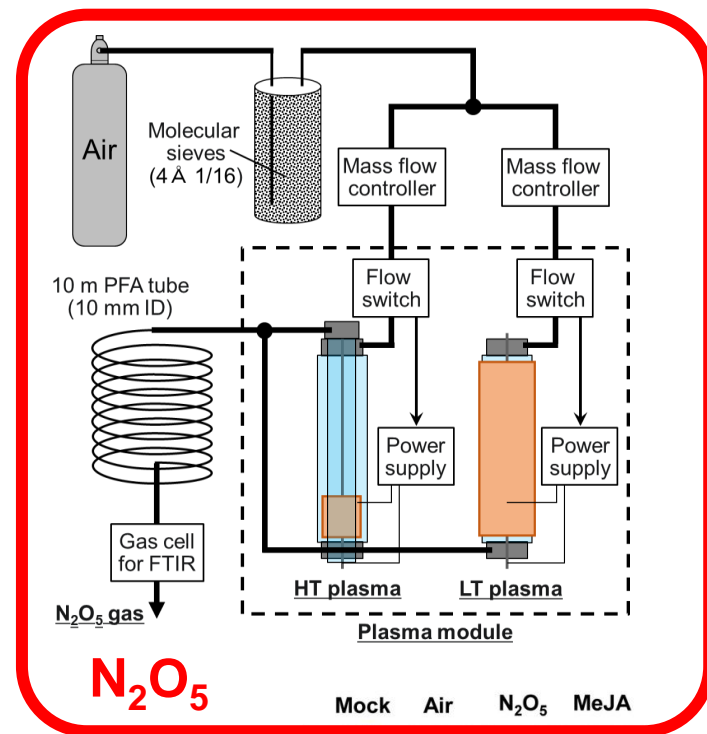
- NO_{2aq}^+ production from N_2O_{5aq}
- $N_2O_{5aq} + H_2O_{2aq} \rightarrow HOONO_{2aq} + H^+_{aq} + NO_{3aq}^-$
- Highly reactive species:
 NO_{2aq}^+ and $HOONO_{2aq}$



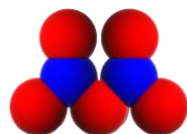
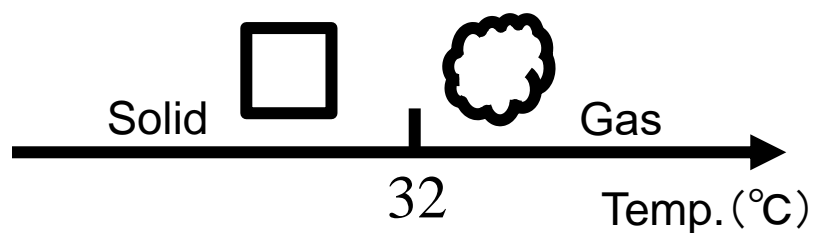
[sterilization/virus inactivation] (during cultivation)



[plant immunity activation] (nitrogen fertilization)

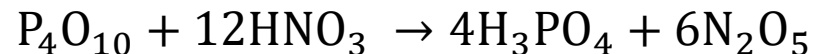


Properties



Molecular weight
108.01

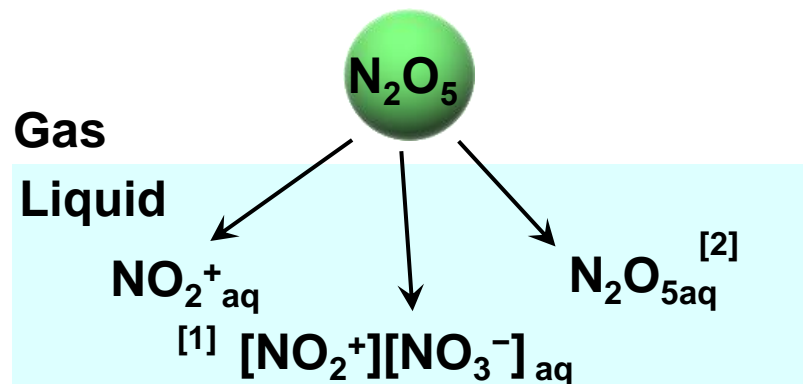
Preparation



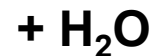
- ✓ Hazardous
- ✓ Concentrated acid -> Environmental pollution

Unique reactivity

At gas-liquid interface



● Reactive intermediate form



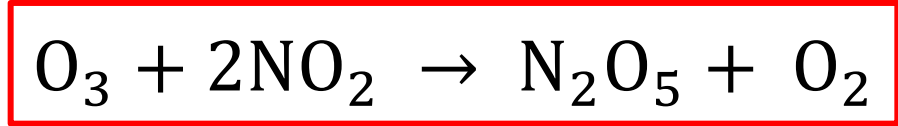
Others

**Oxidation,
Nitration**

[1] A.F. Holleman: Inorganic chemistry (De Gruyter, Berlin, 2001).

[2] M. Galib and D.T. Limmer, Science (80-.). **371** (2021) 921.

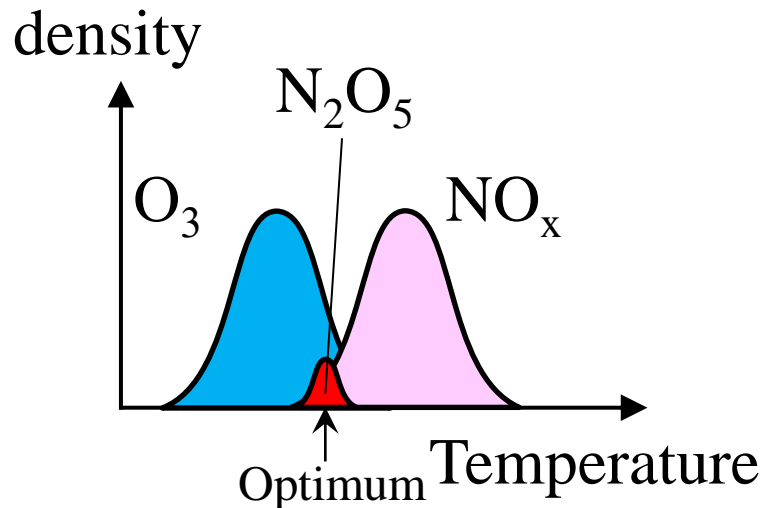
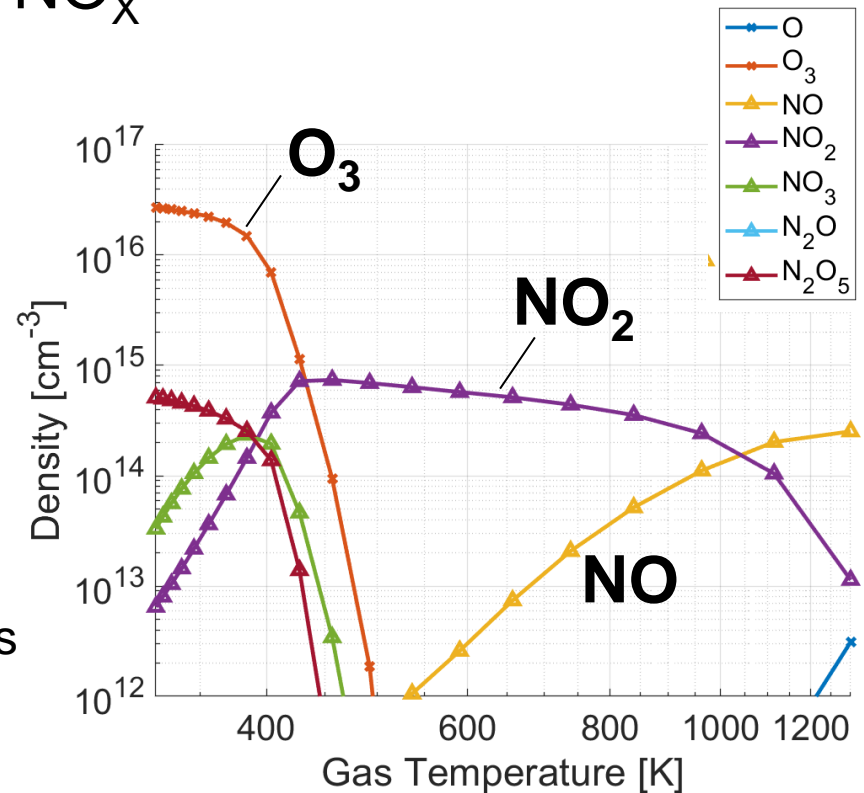
Balanced Generation of O_3 and NO_x



Radical	Flux (molecules/cm ³ /s)
N	0.5×10^{17}
O	1.3×10^{17}

Temperature: 298 K

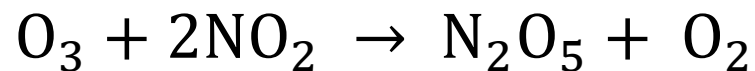
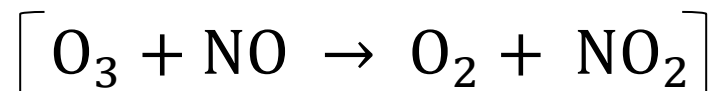
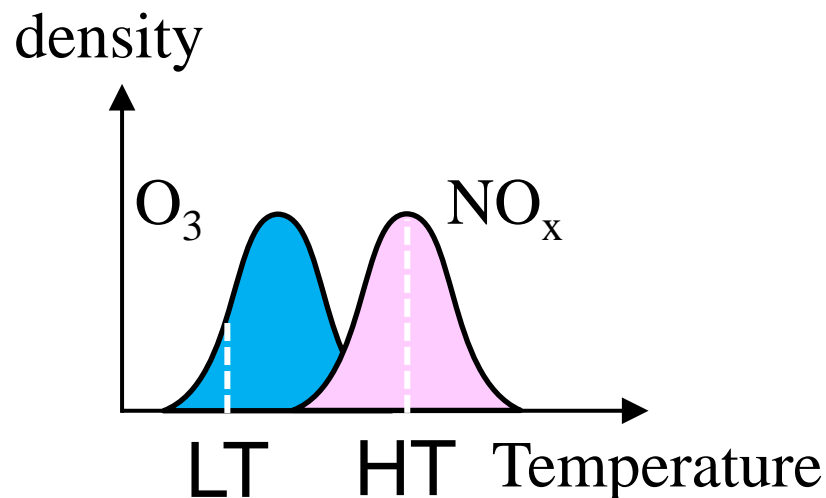
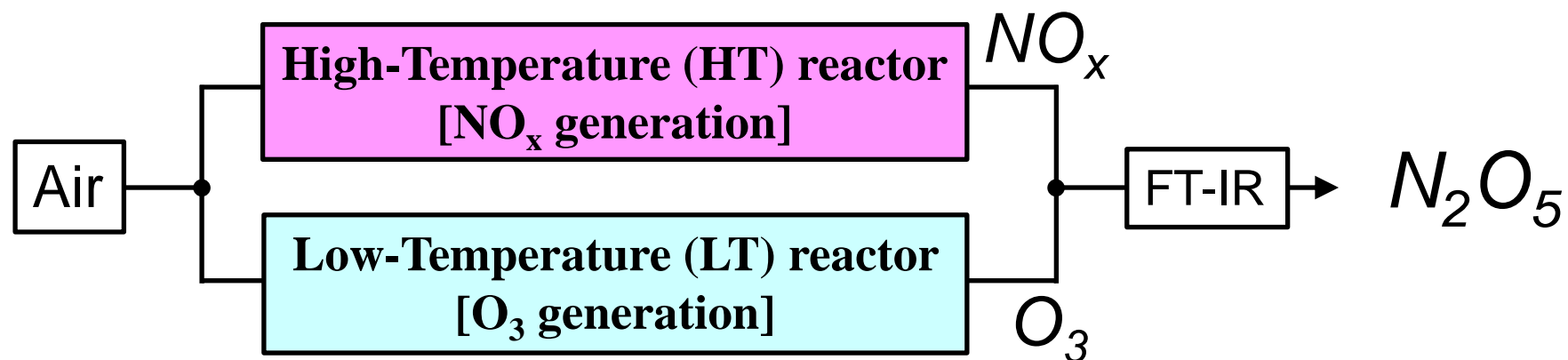
Reaction time after plasma region : ~ 1s

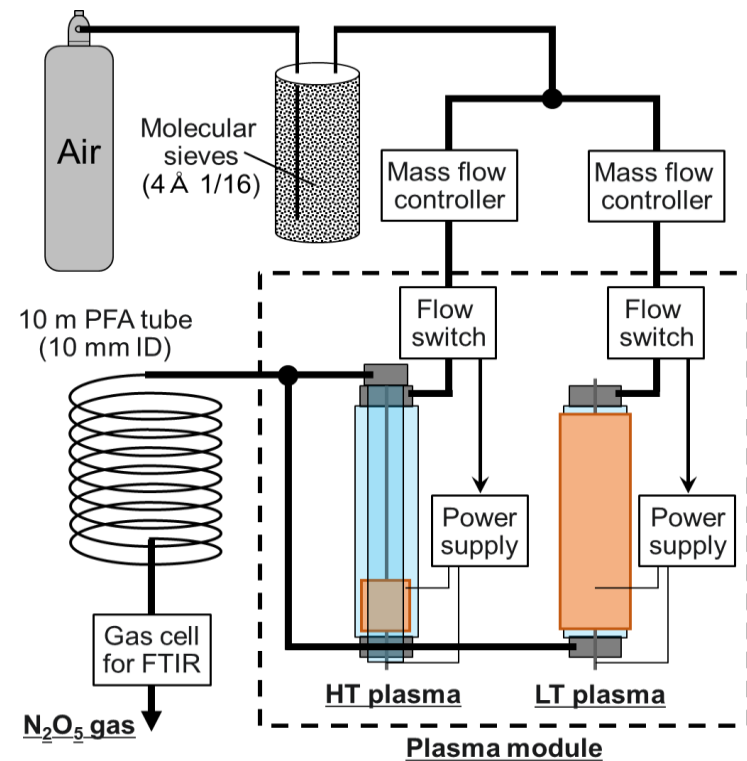
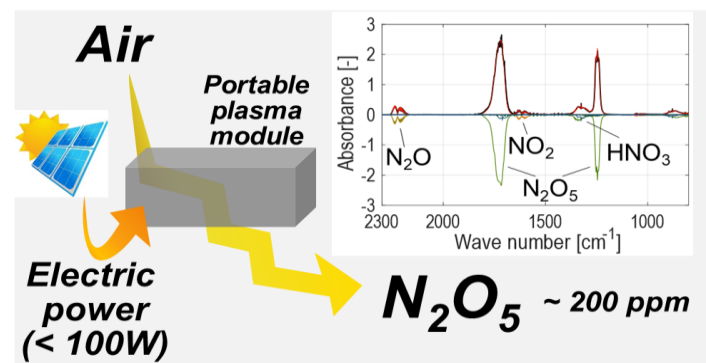
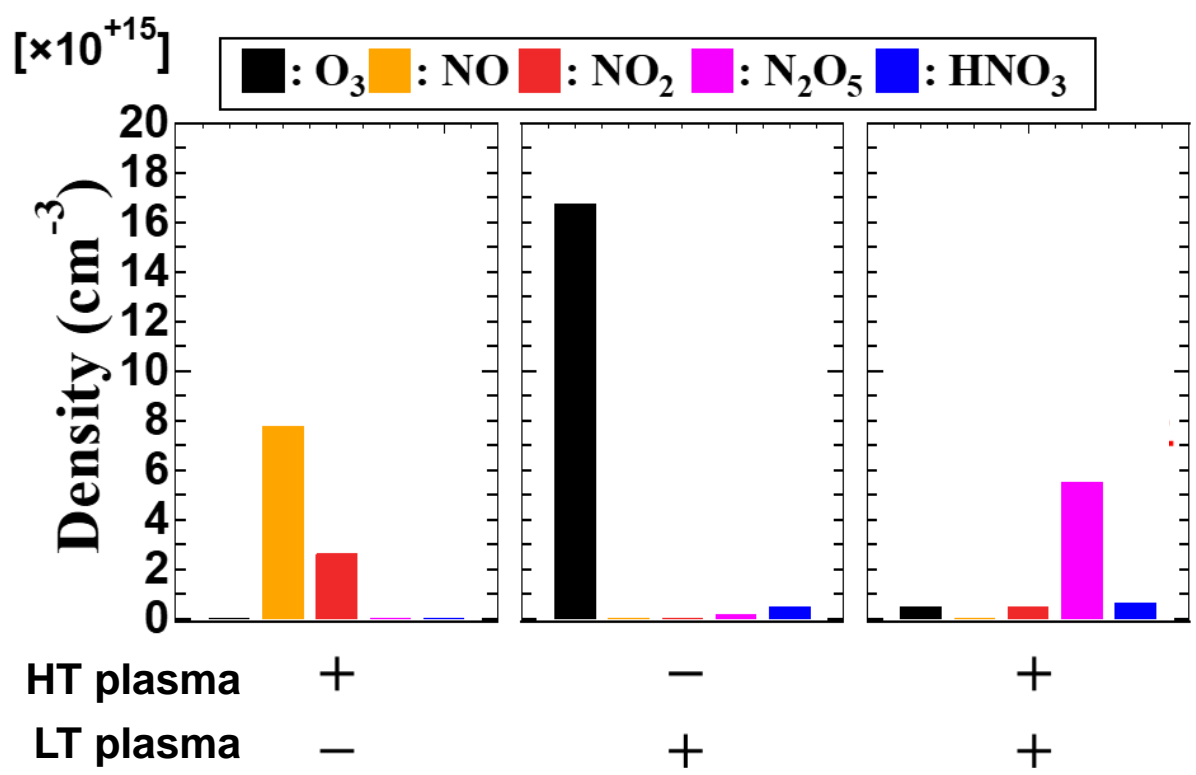


Balanced generation of O_3 and NO_x is difficult using single plasma reactor

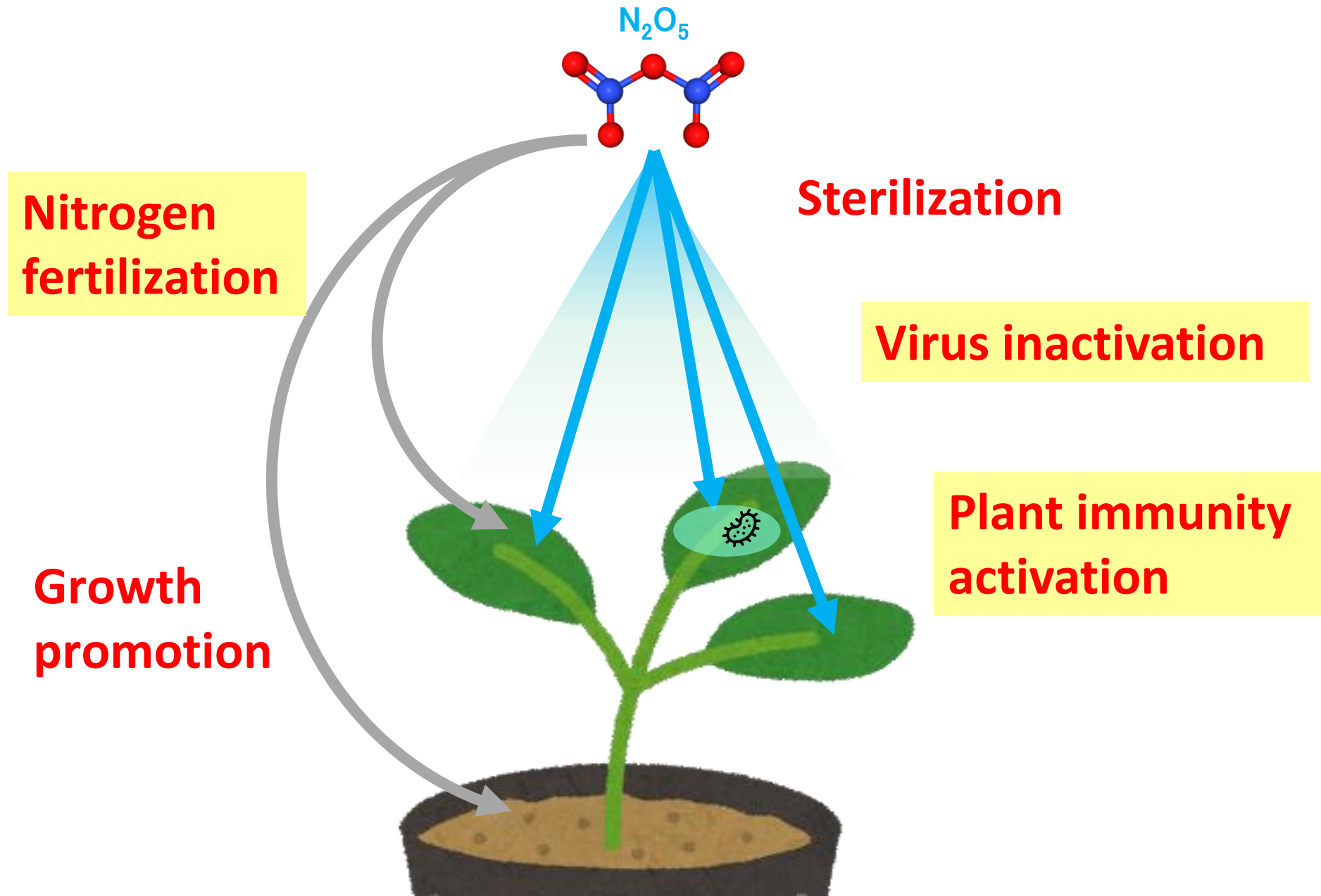
Is it possible to generate N_2O_5 selectively ???

➔ Combination use of O_3 generator and NO_x generator

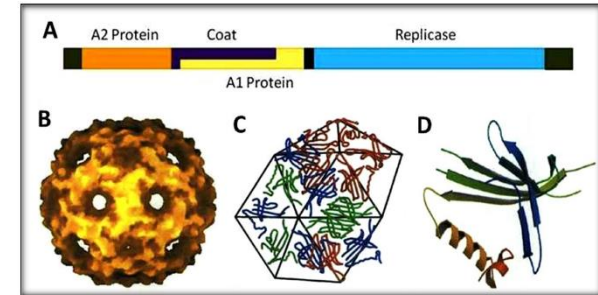
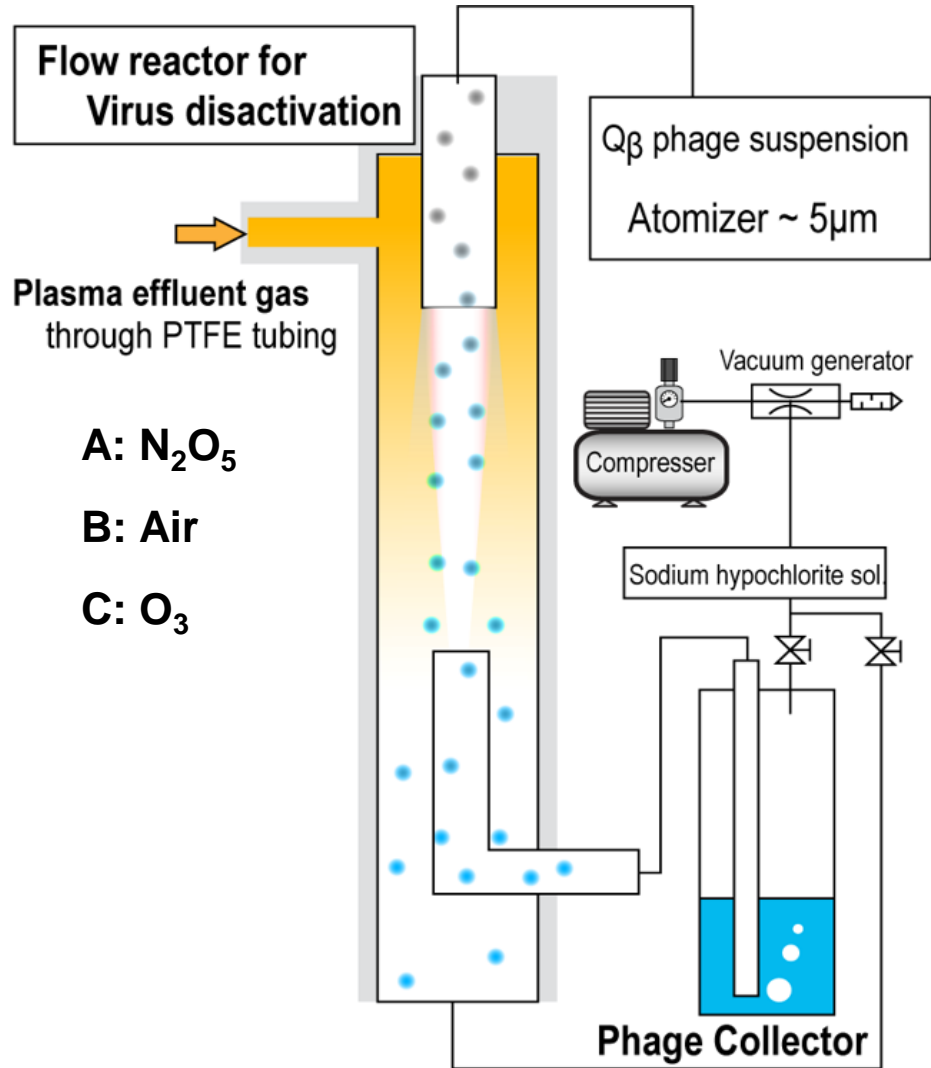




S. Sasaki, K. Takashima, and T. Kaneko: Ind. Eng. Chem. Res. **60**, 798 (2021)



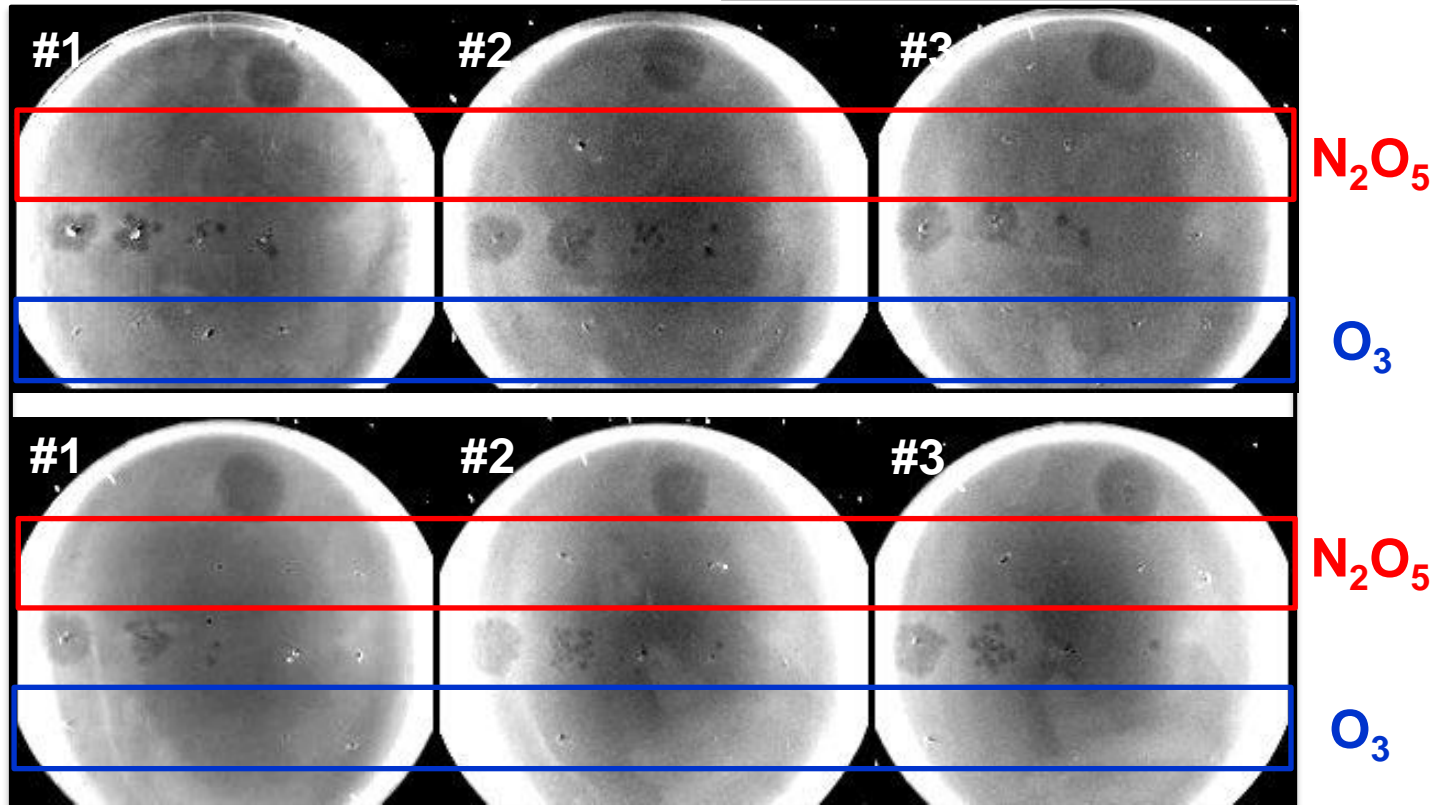
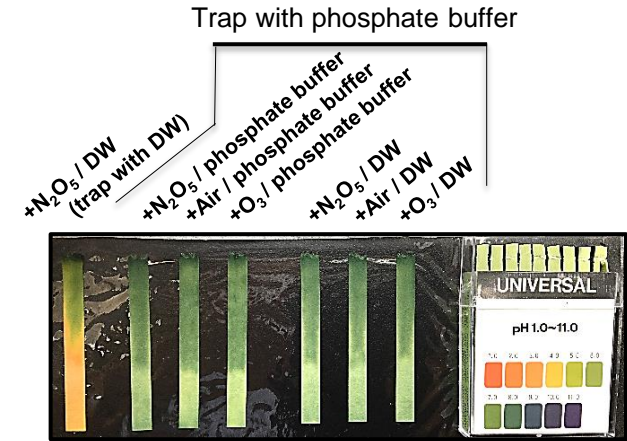
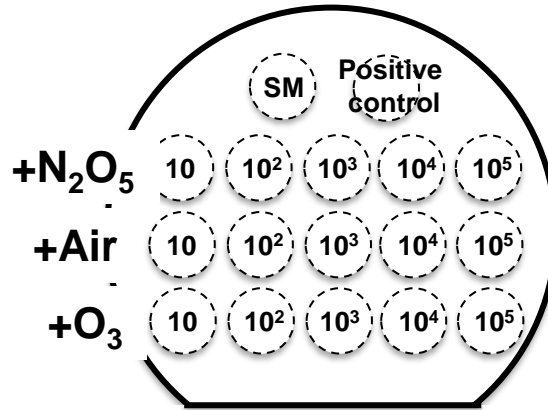
- Q β phage Virus Inactivation Effects
- Nitrogen Fertilization Effects
- Activation of Plant Immunity



Qβ phage virus infects bacteria such as *E. coli*.



- Mist of Qβ phage (1x10⁹ pfu/ml)
- N₂O₅ treatment for 15 min
- Trap with 30 ml of 100mM phosphate buffer (pH7.0)
- **Plaque assay**



Mist solution:
DW

> **3-log reduction** in titer of Qβ phage

Mist solution:
phosphate buffer (pH7.0)

N₂O₅

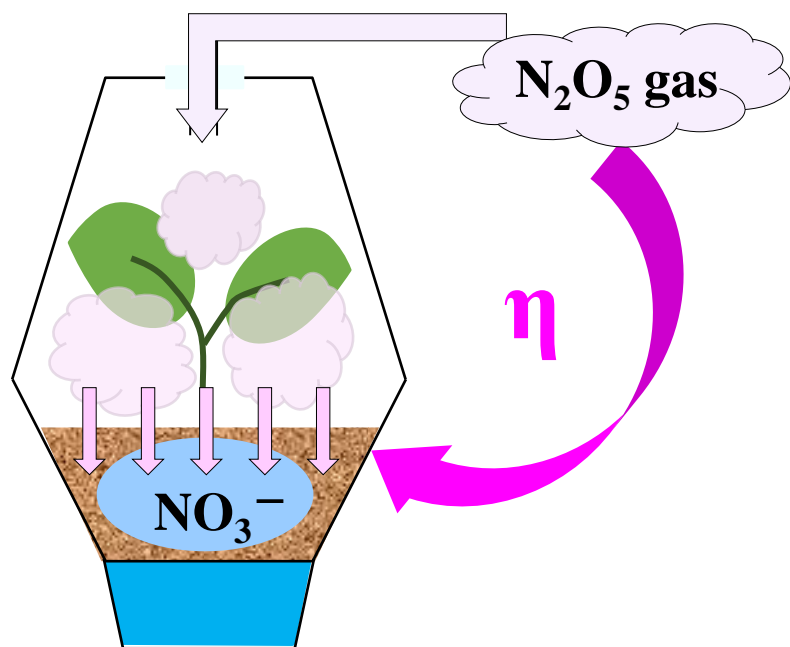
O₃

N₂O₅

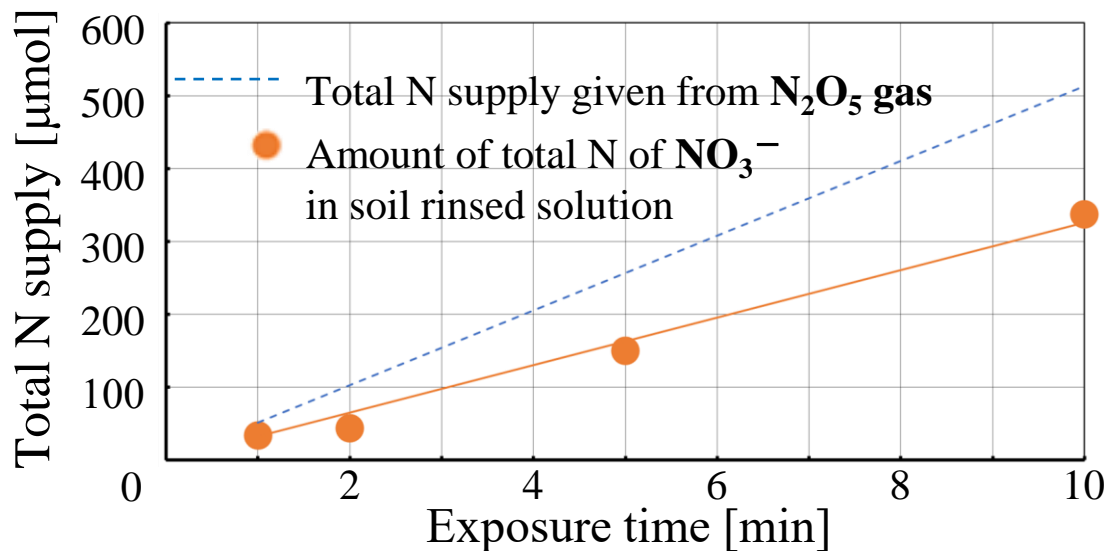
O₃

- Qβ phage Virus Inactivation Effects
- Nitrogen Fertilization Effects
- Activation of Plant Immunity

Direct Exposure

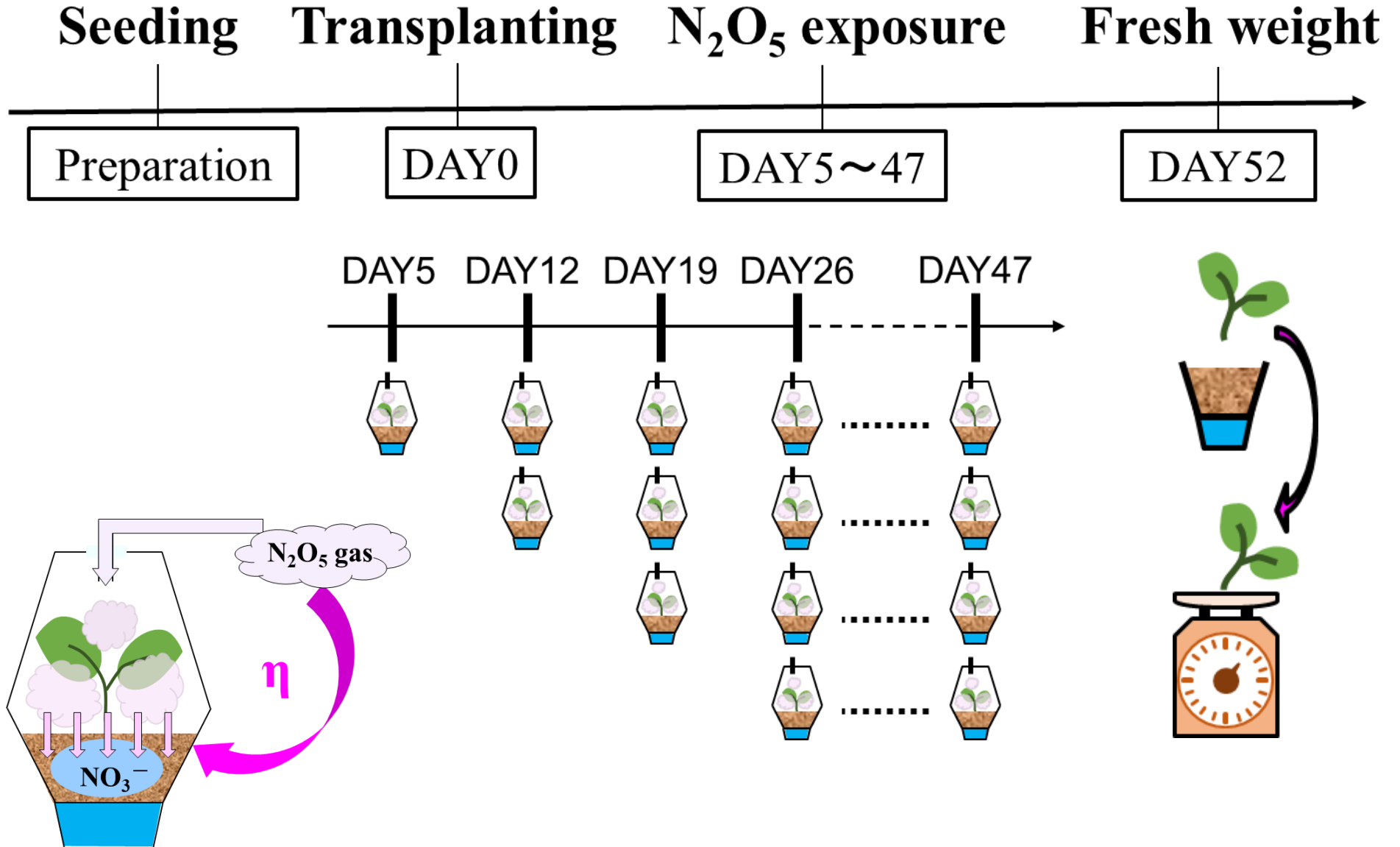


η : Conversion efficiency



$\eta=63\%$

High efficiency nitrogen fertilization !

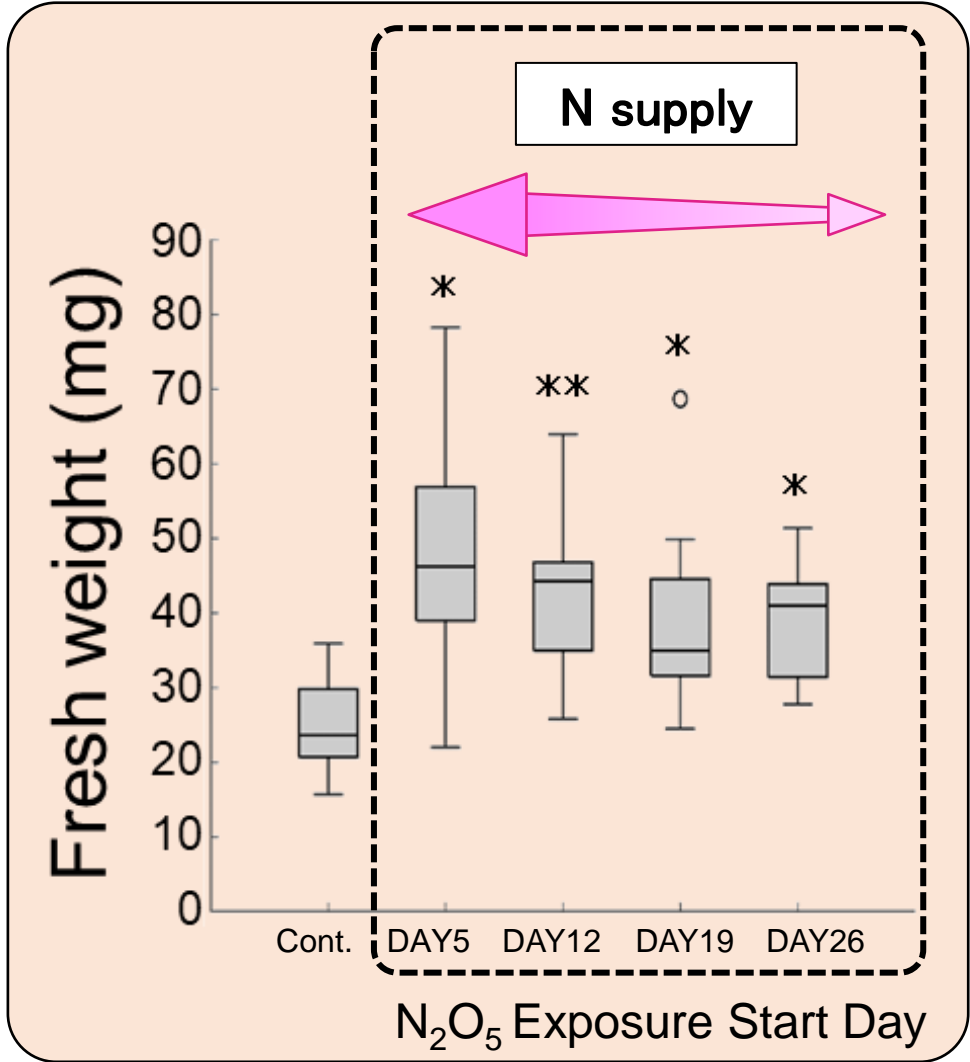


Nitrogen deficient *Lotus japonicus*



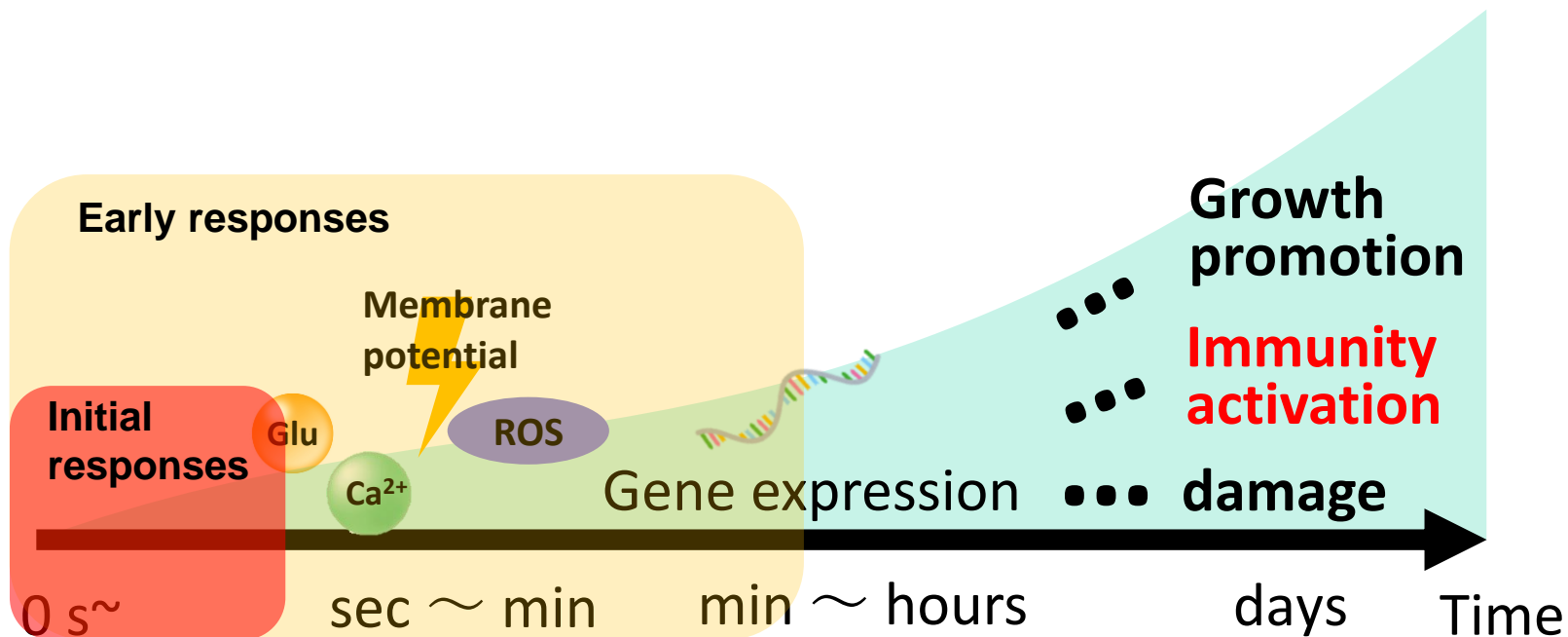
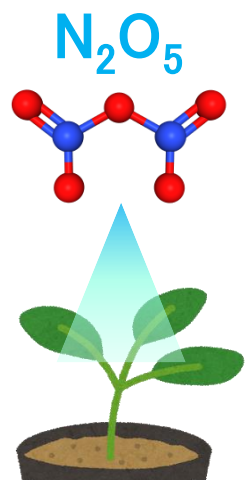
Observation: DAY47

30s exposure



Observation: DAY52

- Qβ phage Virus Inactivation Effects
- Nitrogen Fertilization Effects
- **Activation of Plant Immunity**



- **Initial responses**
Ca²⁺ signaling
- **Early responses**
Gene expression

Knowledge in plant biology

Relation between stimulus and responses

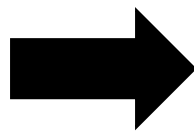
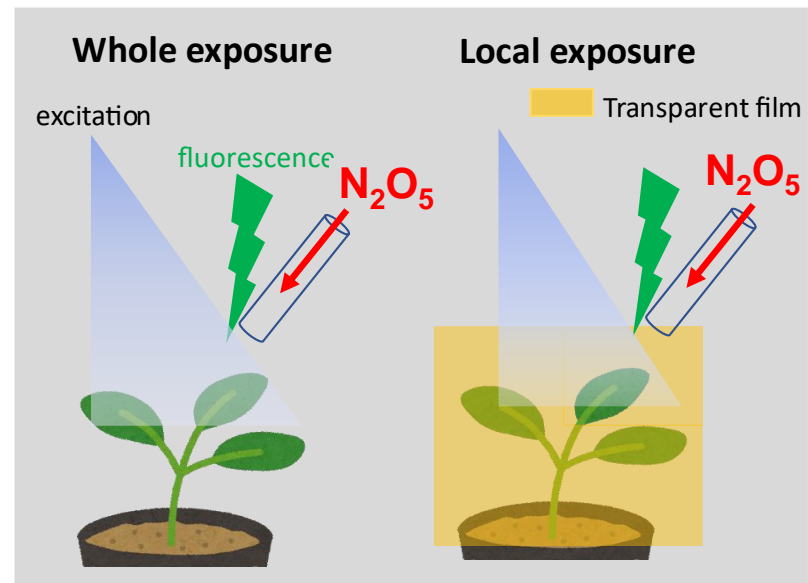
- Initial responses to gene expression
- gene expression to phenotype etc...

- ✓ Prediction of N_2O_5 effects on plants
- ✓ Proposal of agricultural applications using N_2O_5

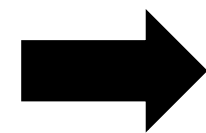
Live imaging of $[Ca^{2+}]_{cyt}$

Measurement of gene expression

Focus on **plant immunity**



sampling



RT-qPCR



Arabidopsis Thaliana expressing a calcium ion sensor protein (GCaMP3)

Since exposure
0 m

10 m

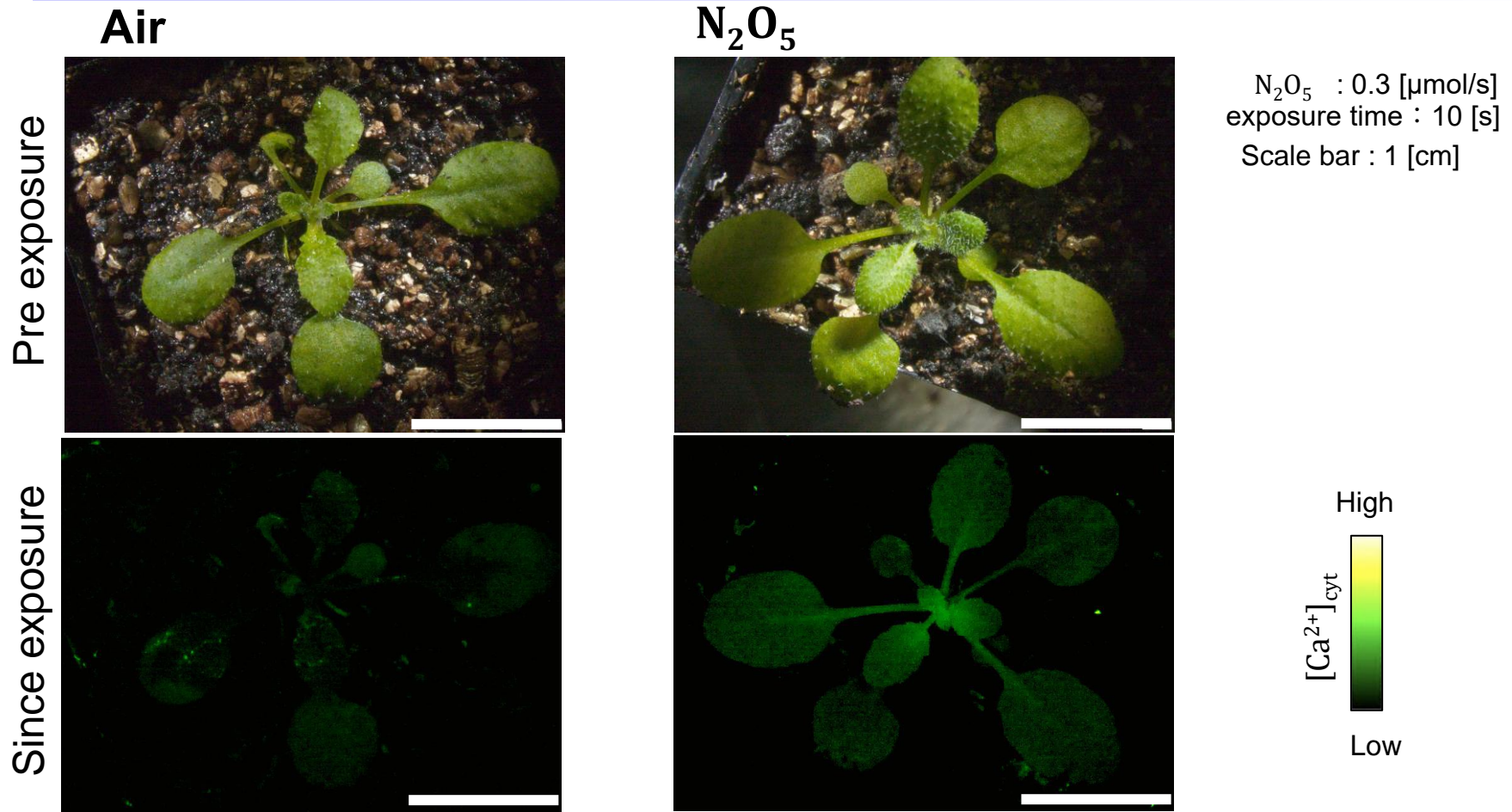
24 h

Live imaging of Ca^{2+} signaling

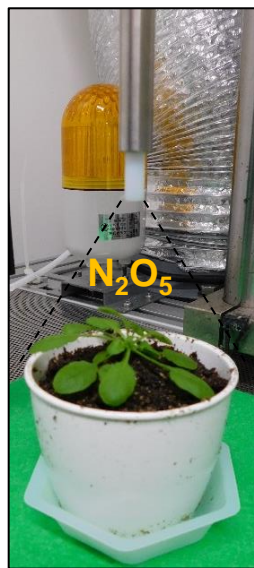
Sampling for PCR

RT-qPCR

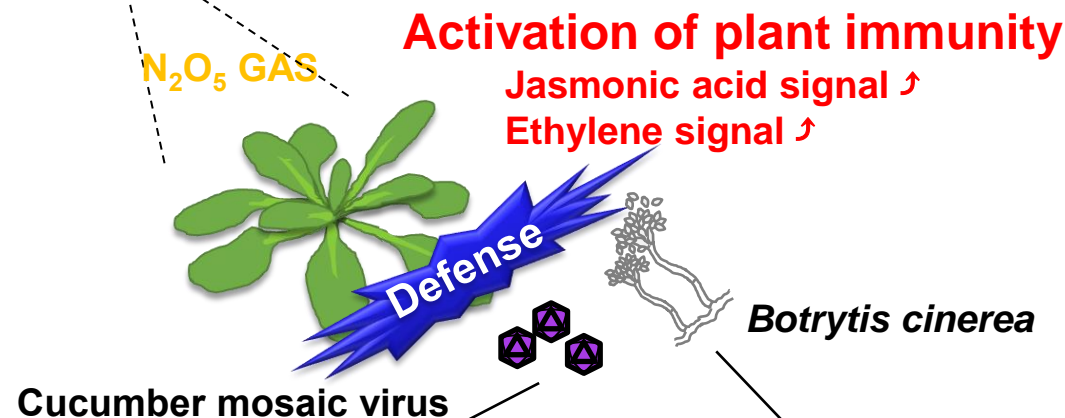
- Inactivate the cellular activity
- homogenization
- RNA extraction
- cDNA generation
- JA-related genes
- Antimicrobial peptide-related gene



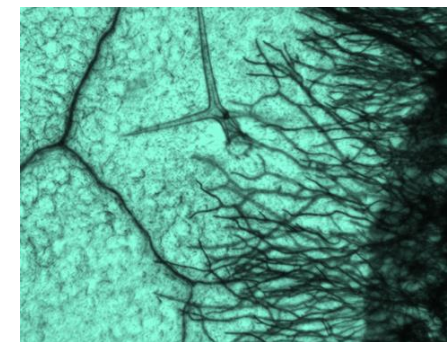
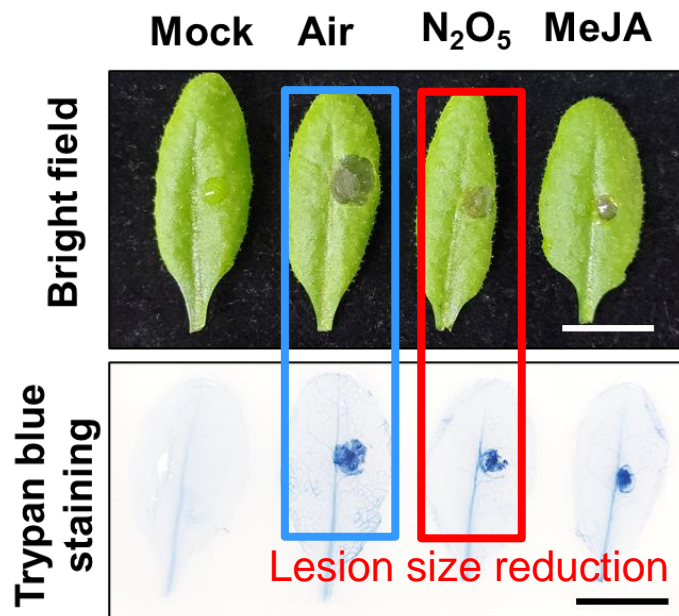
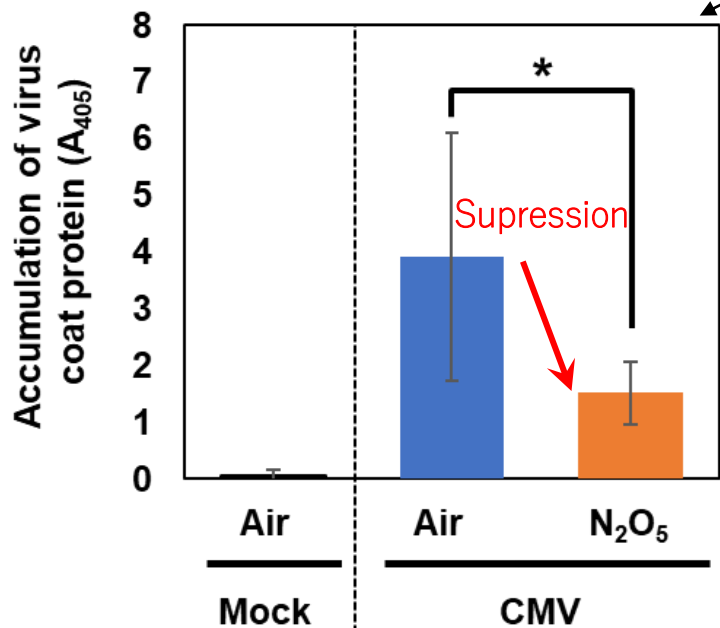
- Air : No $[\text{Ca}^{2+}]_{\text{cyt}}$ increase
- N_2O_5 : **Increase** $[\text{Ca}^{2+}]_{\text{cyt}}$ → **Decrease** over time
 - ▣ stimulated on plant surface
 - ▣ through stoma etc...



Inoculate leaves with pathogen



Immunity activation effect of N_2O_5 was demonstrated by the inoculation tests

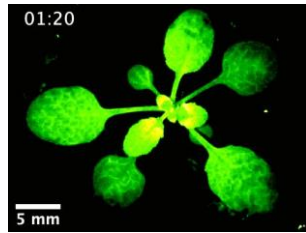
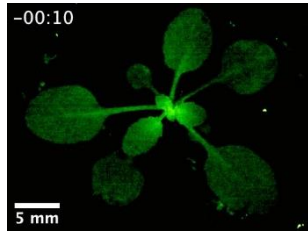


B. Cinerea hyphae infecting to leaf tissue

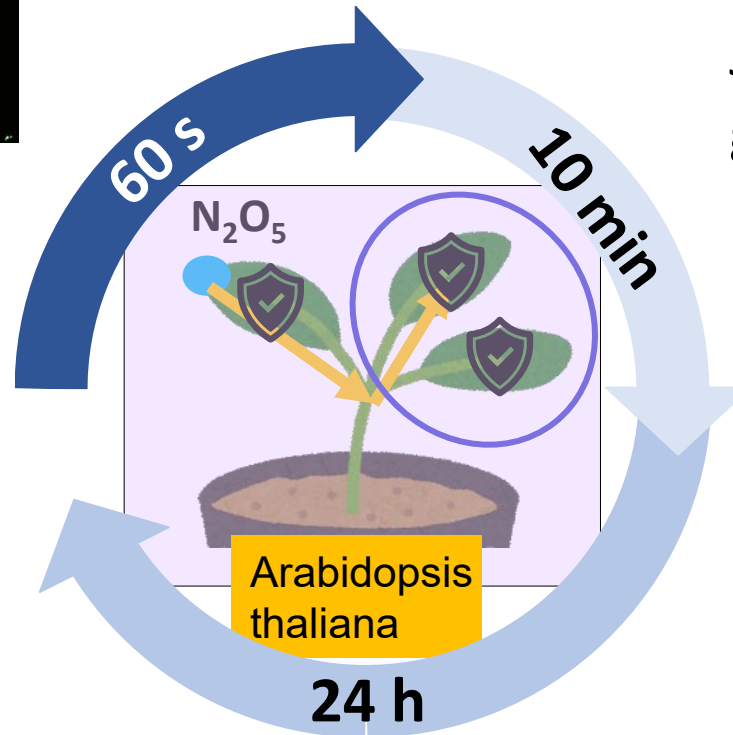
[Ca²⁺]_{cyt} Low High Ca²⁺ Signaling by N₂O₅ exposure

Before

After



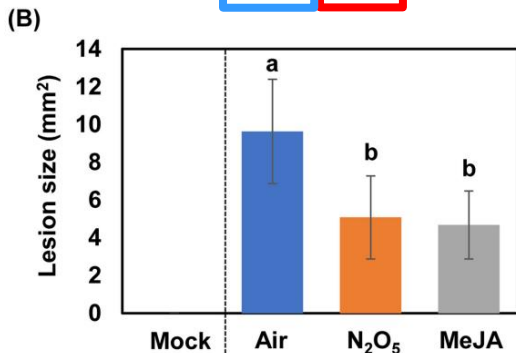
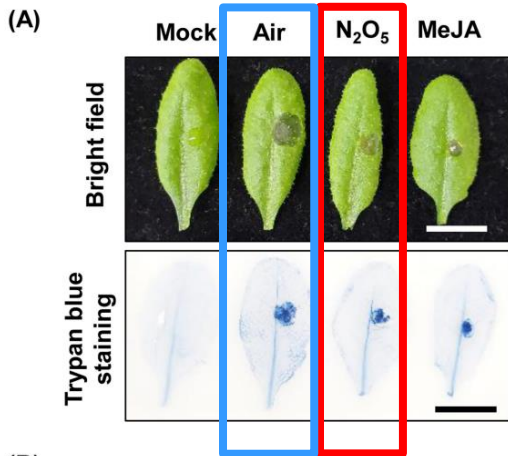
Ca²⁺ Signaling



Jasmonic acid-related gene expression

Expression of genes encoding antimicrobial peptides

Activation of Plant Immunity



D. Tsukidate, K. Takashima, S. Sasaki, S. Miyashita, T. Kaneko, H. Takahashi, S. Ando, PLOS ONE 17, e0269863 (2022).

We have developed a new air atmospheric pressure plasma device synthesizing high density N_2O_5 selectively and demonstrated the applications for sterilization, fertilization, and plant immunity activation.

